

Untersuchung der Fläche in der Parameter-Darstellung

Objektyp: **Chapter**

Zeitschrift: **Mitteilungen der Naturforschenden Gesellschaft Bern**

Band (Jahr): - **(1913)**

PDF erstellt am: **22.07.2024**

Nutzungsbedingungen

Die ETH-Bibliothek ist Anbieterin der digitalisierten Zeitschriften. Sie besitzt keine Urheberrechte an den Inhalten der Zeitschriften. Die Rechte liegen in der Regel bei den Herausgebern.

Die auf der Plattform e-periodica veröffentlichten Dokumente stehen für nicht-kommerzielle Zwecke in Lehre und Forschung sowie für die private Nutzung frei zur Verfügung. Einzelne Dateien oder Ausdrucke aus diesem Angebot können zusammen mit diesen Nutzungsbedingungen und den korrekten Herkunftsbezeichnungen weitergegeben werden.

Das Veröffentlichen von Bildern in Print- und Online-Publikationen ist nur mit vorheriger Genehmigung der Rechteinhaber erlaubt. Die systematische Speicherung von Teilen des elektronischen Angebots auf anderen Servern bedarf ebenfalls des schriftlichen Einverständnisses der Rechteinhaber.

Haftungsausschluss

Alle Angaben erfolgen ohne Gewähr für Vollständigkeit oder Richtigkeit. Es wird keine Haftung übernommen für Schäden durch die Verwendung von Informationen aus diesem Online-Angebot oder durch das Fehlen von Informationen. Dies gilt auch für Inhalte Dritter, die über dieses Angebot zugänglich sind.

II. Teil.

Untersuchung der Fläche in der Parameter-Darstellung.

I. Kapitel.

Parameterdarstellung der Fläche. Die Kurve der parabolischen Punkte.

§ 8. Die Parameterdarstellung.

Am einfachsten werden die Ausdrücke für die Parameterdarstellung der Fläche, wenn man die Krümmungslinien als Parameterkurven einführt und sich auf die in § 7 gefundenen Eigenschaften derselben stützt.

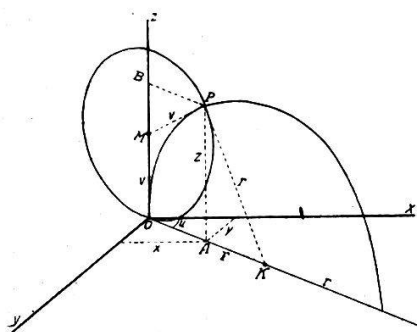


Fig. 5.

Eine durch die z-Achse gelegte Ebene, die mit der xz-Ebene den Winkel u bildet, schneidet die Fläche in einem Meridiankreis vom Radius r und vom Mittelpunkt K (Fig. 5), der auf der Kurve

$$r^2 = a^2 \cos^2 u + b^2 \sin^2 u$$

(nach Gl. II) liegt, und die Kugel vom Mittelpunkt M auf der z-Achse

und vom Radius v (die auf der Fläche eine Krümmungslinie der zweiten Schar ausschneidet) in einem Kreis. Beide Kreise schneiden sich nach § 7 orthogonal in einem Punkte P der Fläche. Es ist somit

$$\triangle BPM \sim \triangle APK$$

Hieraus ergibt sich

$$AK : r = BM : v$$

$$\sqrt{r^2 - z^2} : r = v - z : v$$

$$z = \frac{2r^2v}{r^2 + v^2}$$

Liegt A zwischen O und K , so folgt:

$$\begin{aligned} AO = OK - KA &= r - \sqrt{r^2 - \frac{4r^4v^2}{(r^2 + v^2)^2}} \\ &= \frac{2rv^2}{r^2 + v^2} \end{aligned}$$

Aber auch wenn A ausserhalb OK liegt, gilt dasselbe. Es wird also

$$\begin{aligned} x &= \frac{2rv^2}{r^2 + v^2} \cos u \\ y &= \frac{2rv^2}{r^2 + v^2} \sin u \\ z &= \frac{2r^2v}{r^2 + v^2} \end{aligned} \quad \text{XVI.}$$

wobei
$$r = \sqrt{a^2 \cos^2 u + b^2 \sin^2 u}.$$

Dies sind die Koordinaten eines Flächenpunktes in der Parameterdarstellung. Die Parameterlinien $u = \text{const}$ und $v = \text{const}$ sind die erste und zweite Schar von Krümmungslinien; u ist der Winkel der Meridianebene gegen die xz -Ebene, v der Radius der veränderlichen Kugel, die zu der zweiten Schar von Krümmungslinien gehört.

Um die Fundamentalgrössen aufzustellen, ist es vorteilhaft, diese Gleichungen auf die Form

$$x = \frac{vz}{r} \cos u \quad y = \frac{vz}{r} \sin u \quad z = \frac{2r^2v}{r^2 + v^2} \quad \text{XVIa.}$$

zu bringen. Wir berechnen zunächst:

$$\begin{aligned} \frac{\partial z}{\partial u} &= -\frac{4c^2v^3}{(r^2 + v^2)^2} \sin u \cos u \\ \frac{\partial r}{\partial u} &= -\frac{c^2}{r} \sin u \cos u \end{aligned} \quad (1)$$

wobei $c^2 = a^2 - b^2$. Ferner:

$$\begin{aligned} \frac{\partial x}{\partial u} &= \frac{v}{r^2} \left\{ r \left(-z \sin u + \cos u \cdot \frac{\partial z}{\partial u} \right) - z \cos u \cdot \frac{\partial r}{\partial u} \right\} \\ \frac{\partial y}{\partial u} &= \frac{v}{r^2} \left\{ r \left(z \cos u + \sin u \cdot \frac{\partial z}{\partial u} \right) - z \sin u \cdot \frac{\partial r}{\partial u} \right\}, \end{aligned}$$

sodass

$$\begin{aligned} E = S \left(\frac{\partial \mathbf{x}}{\partial u} \right)^2 &= \frac{v^2}{r^4} \left\{ r^2 z^2 + r^2 \left(\frac{\partial z}{\partial u} \right)^2 + z^2 \left(\frac{\partial r}{\partial u} \right)^2 - 2rz \frac{\partial r}{\partial u} \frac{\partial z}{\partial u} \right. \\ &\quad \left. + \left(\frac{\partial z}{\partial u} \right)^2 \right\}. \end{aligned}$$

Setzt man die Werte (1) ein und vereinfacht, so ergibt sich

$$E = \frac{4v^4 t^2}{r^2(r^2 + v^2)^2}, \quad (2)$$

wo t die Bedeutung (X) hat:

$$t = \sqrt{a^4 \cos^2 u + b^4 \sin^2 u}.$$

Weiter ist:

$$\frac{\partial z}{\partial v} = \frac{2r^2(r^2 - v^2)}{(r^2 + v^2)^2}$$

$$\frac{\partial x}{\partial v} = \frac{4r^3 v}{(r^2 + v^2)^2} \cos u$$

$$\frac{\partial y}{\partial v} = \frac{4r^3 v}{(r^2 + v^2)^2} \sin u$$

und hieraus findet man:

$$F = S \left(\frac{\partial x}{\partial u} \frac{\partial x}{\partial v} \right) = \frac{\partial z}{\partial u} \cdot \frac{2r^2}{r^2 + v^2} - \frac{8r^3 v^3}{(r^2 + v^2)^3} \cdot \frac{\partial r}{\partial u}$$

oder ausgerechnet

$$F = 0. \quad (3)$$

Schliesslich wird

$$G = S \left(\frac{\partial x}{\partial v} \right)^2 = \frac{4r^4}{(r^2 + v^2)^2} \quad (4)$$

und

$$\Delta = +\sqrt{EG - F^2} = \frac{4rv^2}{(r^2 + v^2)^2} \cdot t.$$

Die Richtungscosinuse der Flächennormalen ergeben sich am einfachsten aus den Formeln VIII, in denen

$$R^2 = x^2 + y^2 + z^2 = \frac{4r^2 v^2}{r^2 + v^2}$$

$$\sqrt{a^4 x^2 + b^4 y^2} = 2 \frac{rv^2}{r^2 + v^2} \cdot t$$

zu setzen ist. Dann wird

$$\cos \alpha = \frac{\cos u}{t} \cdot \frac{2r^2 v^2 - a^2 (r^2 + v^2)}{r^2 + v^2}$$

$$\cos \beta = \frac{\sin u}{t} \cdot \frac{2r^2 v^2 - b^2 (r^2 + v^2)}{r^2 + v^2}$$

$$\cos \gamma = \frac{2r^3 v}{t(r^2 + v^2)},$$

VIII a.

sodass die Gleichung der Tangentialebene die Form annimmt:

$$X \{2 r^2 v^2 - a^2 (r^2 + v^2)\} \cos u + Y \{2 r^2 v^2 - b^2 (r^2 + v^2)\} \sin u + Z \cdot 2 r^3 v = 2 r^3 v^2. \quad (5)$$

Da wir die Krümmungslinien als Parameterkurven eingeführt haben, so muss die Fundamentalgrösse 2. Ordnung:

$$D' = S \left(\cos \alpha \cdot \frac{\partial^2 \mathbf{x}}{\partial u \partial v} \right) = 0 \quad (6)$$

sein und es gelten dann die Formeln von Rodrigues, von denen wir nur die beiden

$$\frac{\partial \cos \gamma}{\partial u} = - \frac{D}{E} \frac{\partial z}{\partial u} \quad \frac{\partial \cos \gamma}{\partial v} = - \frac{D''}{G} \frac{\partial z}{\partial v}$$

herausgreifen, weil sie sich zur Berechnung der beiden Fundamentalgrössen 2. Ordnung:

$$D = S \left(\cos \alpha \cdot \frac{\partial^2 \mathbf{x}}{\partial u^2} \right) \quad D'' = S \left(\cos \alpha \cdot \frac{\partial^2 \mathbf{x}}{\partial v^2} \right)$$

am besten eignen. Aus (VIII a) folgt nämlich durch Differentiation:

$$\frac{\partial \cos \gamma}{\partial u} = - \frac{2 c^2 r v}{t^3 (r^2 + v^2)^2} \sin u \cos u \{ a^2 b^2 (r^2 + v^2) - 2 t^2 v^2 \}$$

$$\frac{\partial \cos \gamma}{\partial v} = \frac{2 r^3}{t} \cdot \frac{r^2 - v^2}{(r^2 + v^2)^2}$$

Führt man diese Werte in den Formeln von Rodrigues ein, so wird

$$D = - \frac{2 v^2}{t r (r^2 + v^2)^2} \{ 2 t^2 v^2 - a^2 b^2 (r^2 + v^2) \}$$

$$D'' = - \frac{4 r^5}{t (r^2 + v^2)}. \quad (7)$$

Wir stellen hier die gefundenen fundamentalen Grössen zusammen:

$$\begin{aligned}
 x &= \frac{2 r v^2}{r^2 + v^2} \cos u & y &= \frac{2 r v^2}{r^2 + v^2} \sin u & z &= \frac{2 r^2 v}{r^2 + v^2} \\
 E &= \frac{4 v^4 t^2}{r^2 (r^2 + v^2)^2} & D &= - \frac{2 v^2}{r t (r^2 + v^2)^2} \{ 2 t^2 v^2 - a^2 b^2 (r^2 + v^2) \} \\
 F &= 0 & D' &= 0 \\
 G &= \frac{4 r^4}{(r^2 + v^2)^2} & D'' &= - \frac{4 r^5}{t (r^2 + v^2)^2} \\
 \Delta &= \frac{4 r v^2 t}{(r^2 + v^2)^2} \\
 \Delta' &= \sqrt{D D'' - D'^2} = \frac{2 r^2 v}{t (r^2 + v^2)^2} \sqrt{2 \{ 2 t^2 v^2 - a^2 b^2 (r^2 + v^2) \}} \\
 d s^2 &= E d u^2 + 2 F d u d v + G d v^2 = \\
 &= \frac{4}{(r^2 + v^2)^2} \left(\frac{v^4 t^2}{r^2} d u^2 + r^4 d v^2 \right) \\
 r^2 &= a^2 \cos^2 u + b^2 \sin^2 u \\
 t^2 &= a^4 \cos^2 u + b^4 \sin^2 u
 \end{aligned}
 \tag{XVII.}$$

Für die Hauptkrümmungsradien bestehen, weil $F = 0$ und $D' = 0$, die Formeln

$$e_1 = \frac{E}{D} \quad e_2 = \frac{G}{D''}$$

Setzt man für E, D, G, D'' ihre Werte nach (XVII), so wird

$$\begin{aligned}
 e_1 &= - \frac{2 t^3 v^2}{r \{ 2 t^2 v^2 - a^2 b^2 (r^2 + v^2) \}} \\
 e_2 &= - \frac{t}{r} = -1,
 \end{aligned}
 \tag{XVIII.}$$

wie aus (XI) folgt, d. h. der eine Hauptkrümmungsradius (e_2) ist immer gleich dem Radius der erzeugenden Kugel.¹⁾

Für die höchsten und tiefsten Punkte der Fläche ($x = \pm a, y = 0, z = \pm a$) ist $u = 0$ und $v = \pm a$, somit

¹⁾ Das Resultat gilt allgemein für Enveloppenflächen von Kugeln. Vergl. A. Enneper: Bemerkungen über die Enveloppe einer Kugelfläche. Nachr. d. kgl. Ges. d. Wissenschaften und d. G. A. Univ. Göttingen 1873, p. 219.

$$e_1 = -\frac{a^3}{c^2} \quad e_2 = -a.$$

Für die Sattelpunkte ($x = 0$, $y = \pm b$, $z = \pm b$) wird $u = 90^\circ$, $v = \pm b$, und

$$e_1 = \frac{b^3}{c^2} \quad e_2 = -b.$$

Das negative Vorzeichen gibt an, dass die Normale nach der Seite der Fläche hin gerichtet ist, auf der der Mittelpunkt liegt.

Das Krümmungsmass

$$K = \frac{1}{e_1 e_2} = \frac{DD'' - D'^2}{EG - F^2} \quad \text{wird}$$

$$K = \frac{r^2}{2t^4 v^2} \{2t^2 v^2 - a^2 b^2 (r^2 + v^2)\} \quad \text{XIX.}$$

und die mittlere Krümmung

$$H = \frac{ED'' + GD - 2FD'}{\Delta^2} = \frac{1}{e_1} + \frac{1}{e_2}$$

berechnet sich zu

$$H = -\frac{r}{2t^3 v^2} \{4t^2 v^2 - a^2 b^2 (r^2 + v^2)\}. \quad \text{XX.}$$

§ 9. Die Kurve der parabolischen Punkte.

Die zyklische Fläche ist in irgend einem Punkte elliptisch oder hyperbolisch gekrümmt, je nachdem $K \geq 0$, d. h. (nach XIX) je nachdem

$$2t^2 v^2 \geq a^2 b^2 (r^2 + v^2) \\ v \geq \frac{abr}{\sqrt{2t^2 - a^2 b^2}}. \quad (1)$$

Sie ist in den Punkten parabolisch gekrümmt, in denen $k = 0$, also

$$v = \frac{abr}{\sqrt{2t^2 - a^2 b^2}}. \quad (2)$$

Setzt man diesen Wert in der Parameterdarstellung (XVI) der Fläche ein, so erhält man die Kurve der parabolischen Punkte in der Parameterdarstellung:

$$\begin{aligned} x &= \frac{a^2 b^2 r}{t^2} \cos u \\ y &= \frac{a^2 b^2 r}{t^2} \sin u \\ z &= \frac{a b r}{t} \sqrt{2t^2 - a^2 b^2}. \end{aligned} \quad \text{XXI.}$$

Diese Kurve trennt die elliptischen von den hyperbolischen Punkten der Fläche. Da v für den Nullpunkt gleich null ist und für die Punkte eines Meridians bis zum Äquator beständig zunimmt, so folgt aus (1): Die Kurve der parabolischen Punkte teilt die Fläche derart, dass das den Nullpunkt enthaltende Flächenstück die hyperbolischen, das ihn ausschliessende Stück die elliptischen Punkte enthält.

Für den Schnittpunkt mit der xy -Ebene ($z = 0$) ergibt sich aus XXI:

$$t^2 = \frac{a^2 b^2}{2}$$

und hieraus:

$$\begin{aligned} \sin u &= \pm \frac{a}{c} \sqrt{\frac{2a^2 - b^2}{2(a^2 + b^2)}} & \cos u &= \pm \frac{b}{c} \sqrt{\frac{a^2 - 2b^2}{2(a^2 + b^2)}} \\ r &= \frac{ab\sqrt{3}}{\sqrt{2(a^2 + b^2)}} \end{aligned}$$

Die Koordinaten der 4 Spurpunkte der Kurve der parabolischen Punkte sind also:

$$\begin{aligned} x &= \pm \frac{ab^2}{c(a^2 + b^2)} \sqrt{3(a^2 - 2b^2)} \\ y &= \pm \frac{a^2 b}{c(a^2 + b^2)} \sqrt{3(2a^2 - b^2)}. \end{aligned} \quad (3)$$

Sie sind nur reell, wenn $a > b\sqrt{2}$. Diese Durchstosspunkte haben für den Äquator die Bedeutung von Wendepunkten, und ihre Koordinaten stimmen mit den in (V) gefundenen überein. Ist $a = b\sqrt{2}$, so wird $x = 0$, $y = \pm 2b$, d. h. die Kurve kreuzt die y -Achse.

Die Projektion der Kurve der parabolischen Punkte auf die xy-Ebene ergibt sich durch Elimination von u aus den beiden ersten Gleichungen XXI, die auch geschrieben werden können:

$$x = a^2 b^2 \frac{\sqrt{a^2 + b^2 \operatorname{tg}^2 u}}{a^4 + b^4 \operatorname{tg}^2 u}$$

$$y = a^2 b^2 \frac{\sqrt{a^2 + b^2 \operatorname{tg}^2 u}}{a^4 + b^4 \operatorname{tg}^2 u} \cdot \operatorname{tg} u.$$

In entsprechender Weise ergeben sich die Projektionen auf die beiden andern Koordinatenebenen. Man erhält so:

Projektion auf die xy-Ebene:

$$(a^4 x^2 + b^4 y^2)^2 = a^4 b^4 (a^2 x^2 + b^2 y^2). \quad \text{XXII.}$$

Projektion auf die xz-Ebene:

$$\{(a^4 - b^4)x^2 - b^4 z^2\}^2 = a^4 b^4 (3c^2 x^2 - b^2 z^2). \quad \text{XXIII.}$$

Projektion auf die yz-Ebene:

$$y^2 \{b^2 y^2 (a^2 - 2b^2) + a^2 b^2 z^2\} \{(a^4 - b^4)y^2 + a^4 z^2\}^4$$

$$= a^6 b^4 (a^2 z^2 + 3c^2 y^2)^2 (2a^2 - b^2). \quad \text{XXIV.}$$

Ist insbesondere $a = b\sqrt{2}$, so werden diese Gleichungen:

Projektion auf die xy-Ebene:

$$(4x^2 + y^2)^2 = 4b^2 (2x^2 + y^2). \quad \text{XXIIa.}$$

Projektion auf die xz-Ebene:

$$(3x^2 - z^2)(3x^2 - z^2 - 4b^2) = 0. \quad \text{XXIIIa.}$$

Projektion auf die yz-Ebene:

$$b^2 y z (3y^2 + 4z^2)^2 = 2\sqrt{3} (2z^2 + 3y^2). \quad \text{XXIVa.}$$

Durch Nachprüfung der Ableitung zeigt sich, dass der zweite Faktor der Gl. XXIIIa unmöglich 0 sein kann, so dass die Projektion der Kurve der parabolischen Punkte auf die xz-Ebene die Gleichung

$$z = x\sqrt{3} \quad \text{XXIIIb.}$$

besitzt. Die Kurve der parabolischen Punkte wird also für diese Fläche durch eine gegen die xy-Ebene unter 60° geneigte, durch die y-Achse gehende Ebene ausgeschnitten.

Die Kurve der parabolischen Punkte kann auch als Schnitt der Hessiana mit der zyklischen Fläche aufgefasst werden. Die Gleichung der Hessiana oder Kernfläche:

$$H = \begin{vmatrix} F_{11} & F_{12} & F_{13} & F_{14} \\ F_{21} & F_{22} & F_{23} & F_{24} \\ F_{31} & F_{32} & F_{33} & F_{34} \\ F_{41} & F_{42} & F_{43} & F_{44} \end{vmatrix} = 0,$$

wo F das homogen gemachte Gleichungspolynom der zyklischen Fläche bedeutet, wird

$$\begin{vmatrix} R^2 - 2a^2 + 2x^2 & 2xy & 2xz & 2a^2x \\ 2xy & R^2 - 2b^2 + 2y^2 & 2yz & 2b^2y \\ 2xz & 2yz & R^2 + 2z^2 & 0 \\ 4a^2x & 4b^2y & 0 & -(a^2x^2 + b^2y^2) \end{vmatrix} = 0$$

oder ausgerechnet und nach Potenzen geordnet:

$$R^6(a^2x^2 + b^2y^2) + 2R^2[c^2R^2(a^2x^2 - b^2y^2) + 2c^4x^2y^2 + 2z^2(a^4x^2 + b^4y^2)] - 4a^2b^2(R^2 + 2z^2)(a^2x^2 + b^2y^2) = 0, \quad \text{XXV.}$$

wo $R^2 = x^2 + y^2 + z^2$.

Diese Gleichung der Hessiana ist, wie die Theorie verlangt, vom 8. Grade. Die Kernfläche liegt ganz im Endlichen. Der Nullpunkt ist ein isolierter vierfacher Punkt der Fläche. Die Gleichungen der Schnittkurven der Kernfläche mit den Koordinatenebenen sind:

$$\begin{aligned} \text{xy-Ebene: } & (x^2 + y^2)^2(a^2x^2 + b^2y^2) + 2c^2(a^2x^4 - b^2y^4 + 3c^2x^2y^2) \\ & - 4a^2b^2(a^2x^2 + b^2y^2) = 0. \end{aligned}$$

$$\begin{aligned} \text{xz-Ebene: } & (x^2 + z^2)^3 + 2(x^2 + z^2) \{ c^2(x^2 + z^2) + 2a^2z^2 \} \\ & - 4a^2b^2(x^2 + 3z^2) = 0. \end{aligned}$$

$$\begin{aligned} \text{yz-Ebene: } & (y^2 + z^2)^3 - 2(y^2 + z^2) \{ c^2(y^2 + z^2) - 2b^2z^2 \} \\ & - 4a^2b^2(y^2 + 3z^2) = 0. \end{aligned}$$

Sie stellen einfache, geschlossene Kurven dar. Zu der Fläche gehört, wie sich durch Nullsetzen der von diesen Gleichungen abgespaltenen Faktoren ergibt, auch die z-Achse.

Der Schnitt dieser Hessiana mit der zyklischen Fläche, die Kurve der parabolischen Punkte, ist von der Ordnung 32. Ihre Projektion auf die xy-Ebene wird durch Elimination von z aus (I) und (XXV) erhalten. Das Resultat der Elimination ist die bereits gefundene Gleichung XXII:

$$(a^4x^2 + b^4y^2)^2 = a^4b^4(a^2x^2 + b^2y^2).$$

Der Nullpunkt ist ein isolierter Doppelpunkt der Kurve. Für die Schnittpunkte mit dem Strahl $y = mx$ findet man die Koordinaten:

$$x = \pm \frac{a^2 b^2 \sqrt{a^2 + b^2 m^2}}{a^4 + b^4 m^2} \quad y = \pm \frac{a^2 b^2 m \sqrt{a^2 + b^2 m^2}}{a^4 + b^4 m^2},$$

wenn man vom Nullpunkt selber absieht. Man sieht hieraus, dass jeder durch den Nullpunkt gehende Halbstrahl die Kurve ausser dem Nullpunkt nur noch in einem Punkt schneidet, dessen Koordinaten stets reell und endlich sind; die Kurve besteht daher aus einem geschlossenen Blatt um 0.

Die Abschnitte der Kurve auf der x-Achse (α) und der y-Achse (β) berechnen sich aus den letzten Formeln für $m = 0$, $m = \infty$. Bestimmt man ferner aus der Flächengleichung I das dazu gehörige z , so bekommt man:

$$\text{x-Achse: } x = \alpha = \frac{b^2}{a} \quad y = 0 \quad z = \pm \frac{b}{a} \sqrt{2a^2 - b^2}$$

$$\text{y-Achse: } x = 0 \quad y = \beta = \frac{a^2}{b} \quad z = \pm \frac{a}{b} \sqrt{2b^2 - a^2}.$$

Die Ausdrücke α und β lassen sich sehr leicht konstruieren. Wir untersuchen die Projektion der Kurve für folgende Spezialfälle:

1) $a < b\sqrt{2}$. Die Abschnitte α und β auf den Koordinatenachsen werden

$$a > \alpha > \frac{a}{2} \quad \beta < 2b.$$

Für den Grenzfall $a = b$ wird $\alpha = a$, $\beta = a$ und die Projektion der Kurve der parabolischen Punkte wird ein Kreis vom Radius a (Leitkreis).

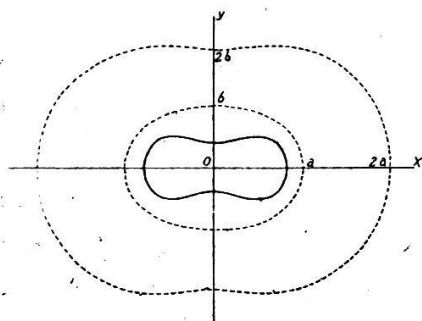


Fig. 6.

Sehen wir von diesem Grenzfall ab, so erhalten wir eine ovale Kurve mit zwei Einbuchtungen in der y-Achse. Die ganze Kurve liegt innerhalb der Schnittkurve der Fläche mit der xy-Ebene (Aequator)

und ist symmetrisch zu den Koordinatenachsen (Fig. 6).

2) $a = b\sqrt{2}$. Die Achsenabschnitte werden

$$\alpha = \pm \frac{a}{2} \qquad \beta = \pm 2b.$$

Die Kurve der parabolischen Punkte geht also, wie bereits S. 27 konstatiert wurde, durch die Punkte der y-Achse, in welchen die zyklische Fläche die y-Achse schneidet (Fig. 7).

3) $a > b\sqrt{2}$. In diesem Falle ist

$$\alpha < \frac{a}{2} \qquad \beta > 2b.$$

Alle Schnittpunkte mit der y-Achse liegen ausserhalb der Fläche und können daher nicht realisiert werden. Die Kurve durchschneidet den Äquator in 4 reellen Punkten (Fig. 8).

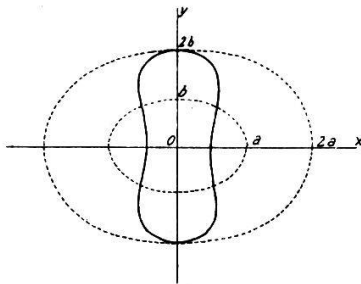


Fig. 7.

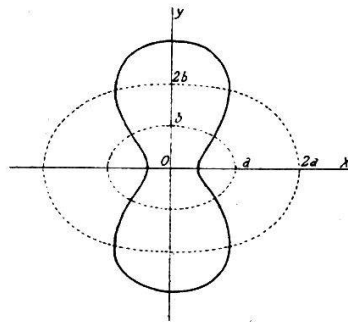


Fig. 8.

Hieraus und aus der Diskussion der Spurpunkte (S. 27) ergibt sich in den drei Fällen für die Kurve der parabolischen Punkte selber folgender Verlauf:

1.) $a < b\sqrt{2}$. Die Raumkurve besteht aus zwei getrennten, geschlossenen Zügen, die zur xy-Ebene symmetrisch liegen.

2.) $a = b\sqrt{2}$. Die Raumkurve zerfällt in zwei ebene Kurven, die sich in der y-Achse kreuzen, und deren Ebenen gegen die Äquatorebene unter 60° geneigt sind.

3.) $a > b\sqrt{2}$. Die beiden Züge der Raumkurve werden durch die yz-Ebene getrennt und liegen zu dieser symmetrisch. Sie durchschneiden den Äquator je in zwei Punkten.

Anschliessend an diese Untersuchungen sollen noch die Kreispunkte betrachtet werden. Soll ein Punkt der Fläche ein Kreispunkt oder Nabelpunkt sein, so muss die Bedingung

$$E : F : G = D : D' : D''$$

oder weil $F = 0, D' = 0$

$$E : G = D : D''$$

erfüllt sein. Durch Einsetzen der Werte kommt man dadurch auf die Bedingung

$$r^2 + v^2 = 0,$$

die, weil r nie 0 wird, für reelle Flächenpunkte nie erfüllt wird; d. h. die zyklische Fläche hat keine reellen Kreispunkte. Lässt man auch imaginäre Werte zu, so entsprechen der eben aufgestellten Bedingung (nach XVI) Punkte der Fläche, deren Koordinaten unendlich gross sind. Diese Punkte bilden in ihrer Gesamtheit nach S. 31 den unendlich fernen Kugelkreis, welcher somit eine Kurve sphärischer Krümmung (Nabelinie) der zyklischen Fläche ist.

II. Kapitel.

Die Zentrafläche.

§ 10. Die Gleichungen der Zentrafläche in Parameterform und in rechtwinkligen Koordinaten.

Aus dem früher gefundenen Resultat (XVIII), dass der eine Hauptkrümmungsradius in jedem Flächenpunkt der Grösse und Richtung nach mit dem Radius der durch ihn gehenden erzeugenden Kugel übereinstimmt, folgt, dass der Ort der Endpunkte dieser ersten Hauptkrümmungsradien mit dem Ort der Mittelpunkte der umhüllten Kugeln zusammenfällt, d. h. der den Meridiankreisen entsprechende erste Mantel der Zentrafläche wird durch die Leitellipse dargestellt.¹⁾

Sind α, β, γ die Richtungswinkel der Flächennormalen, so wird der zweite Mantel der Zentrafläche durch die Gleichungen dargestellt:

$$x = x_1 + \rho_1 \cos \alpha, \quad y = y_1 + \rho_1 \cos \beta, \quad z = z_1 + \rho_1 \cos \gamma,$$

wo x_1, y_1, z_1 die Koordinaten eines Punktes der zyklischen Fläche und x, y, z die laufenden Koordinaten der Zentrafläche sind

¹⁾ Die Verallgemeinerung dieses Satzes heisst: Von den beiden Mänteln der Zentrafläche einer Enveloppenfläche, die eine einfach unendliche Schar von Kugeln umhüllt, reduziert sich der den Kreisen entsprechende auf die Kurve der Mittelpunkte der umhüllten Kugeln. — Monge: Applications. 5^e éd. 1850 p. 376.

und ρ_1 den einen Hauptkrümmungsradius darstellt. Setzt man hierin die Werte aus den Formeln XVI, VIII a und XVIII ein, so ergibt sich

$$x = \frac{2 a^2 v^2 \cos u (t^2 - b^2 r^2)}{r [2 t^2 v^2 - a^2 b^2 (r^2 + v^2)]}$$

Dabei ist

$$t^2 - b^2 r^2 = a^2 c^2 \cos^2 u.$$

In gleicher Weise ergeben sich die Werte für y und z. Wir erhalten also folgende Parameterdarstellung für den zweiten Mantel der Zentrafläche:

$$\begin{aligned} x &= \frac{2 a^4 c^2 v^2 \cos^3 u}{r [2 t^2 v^2 - a^2 b^2 (r^2 + v^2)]} \\ y &= - \frac{2 b^4 c^2 v^2 \sin^3 u}{r [2 t^2 v^2 - a^2 b^2 (r^2 + v^2)]} \\ z &= - \frac{2 a^2 b^2 r^2 v}{2 t^2 v^2 - a^2 b^2 (r^2 + v^2)}. \end{aligned} \quad \text{XXVI.}$$

Um aus ihnen die Gleichungen für rechtwinklige Koordinaten zu erhalten, sind u und v zu eliminieren. Durch Division der ersten und zweiten Formel ergibt sich zunächst:

$$\operatorname{tg} u = - \sqrt[3]{\frac{a^4 y}{b^4 x}}. \quad (1)$$

Ist $u = \text{const}$, so ist auch $\frac{y}{x} = \text{const}$; den Parameterlinien $u = \text{const}$, d. h. den Meridiankreisen, entsprechen somit die Schnittkurven, die Ebenen durch die z-Achse aus dem Kegel der Normalen längs des Kreises ausschneiden. Wir stossen damit schon auf das erste wichtige Resultat: Alle durch die z-Achse gelegten Ebenen schneiden den zweiten Mantel der Zentrafläche in Kegelschnitten, die durch den Nullpunkt gehen, und:

Die Endpunkte der zweiten Hauptkrümmungsradien längs der Meridiankreise der zyklischen Fläche liegen auf einem Kegelschnitt, dessen Ebene durch die z-Achse geht. Ueber die Art der Kegelschnitte können wir aber vorläufig noch nichts aussagen.

Aus der ersten und dritten Gleichung XXVI folgt durch Division:

$$\frac{x}{z} = -\frac{a^2 c^2}{b^2} \cdot \frac{\cos^3 u}{r^3} \cdot v$$

$$\frac{b^4}{a^4 c^4} \cdot \frac{x^2}{z^2} = \frac{1}{(a^2 + b^2 \operatorname{tg}^2 u)^3} \cdot v^2.$$

Setzen wir für $\operatorname{tg} u$ den Wert aus (1) ein, so ergibt sich nach einiger Umrechnung folgende erste Beziehung für v :

$$\sqrt[3]{b^2 x^2} + \sqrt[3]{a^2 y^2} = \sqrt[3]{\frac{c^4 z^2}{a^2 b^2} v^2}. \quad (2)$$

Eine weitere Gleichung für v können wir aus der zweiten Gleichung XXVI finden, wenn wir in dieser den Wert (1) für $\operatorname{tg} u$ substituieren. Durch Auflösung nach v^2 folgt zunächst

$$v^2 = \frac{a^2 b^2 r^3 y}{(2t^2 - a^2 b^2) r y + 2b^4 c^2 \sin^3 u}$$

und hieraus mit Benützung von (1):

$$v^2 = a^2 b^2 y \frac{\sqrt{\left(1 + \sqrt{\frac{a^2 y^2}{b^2 x^2}}\right)^3}}{\left[2a^2 - b^2 + (2b^2 - a^2) \sqrt{\frac{a^2 y^2}{b^2 x^2}}\right] y \sqrt{1 + \sqrt{\frac{a^2 y^2}{b^2 x^2}}} - 2ac^2 \frac{y}{x}} \quad (3)$$

Diese zweite Gleichung für v kombinieren wir nun mit (2). Es wird, wenn zugleich Zähler und Nenner der rechten Seite mit $\sqrt[3]{b x}$ erweitert und die ganze Gleichung mit

$$\sqrt{\sqrt[3]{b^2 x^2} + \sqrt[3]{a^2 y^2}}$$

dividiert wird:

$$\sqrt{\sqrt[3]{b^2 x^2} + \sqrt[3]{a^2 y^2}} =$$

$$= \sqrt[3]{\frac{c^4 z^2}{\left[(2a^2 - b^2) \sqrt[3]{b^2 x^2} + (2b^2 - a^2) \sqrt[3]{a^2 y^2}\right] \sqrt{\sqrt[3]{b^2 x^2} + \sqrt[3]{a^2 y^2}} - 2abc^2}}$$

Durch längere Umformung erhält man hieraus die gesuchte Gleichung des zweiten Mantels der Zentrafläche:

$$\left[c^4(x^2 + y^2 + z^2) - \left(\sqrt[3]{a^4 x^2} + \sqrt[3]{b^4 y^2} \right)^3 \right]^2 - 4 a^2 b^2 c^4 \left(\sqrt[3]{b^2 x^2} + \sqrt[3]{a^2 y^2} \right)^3 = 0. \quad \text{XXVII.}$$

Sie ist für den Nullpunkt erfüllt. Dieser ist also ein Punkt der Fläche.

§ 11. **Schnitte der Zentrafläche mit Ebenen durch die z-Achse.**

Der Schnitt der xz-Ebene mit der Zentrafläche hat die Gleichung

$$(a^2 + c^2) b^2 x^2 - c^4 z^2 + 2 a b^2 c^2 x = 0.$$

Es sind dies die Scheitelgleichungen zweier kongruenter Kegelschnitte, die durch die Transformation

$$x = x' + \frac{a c^2}{a^2 + c^2}$$

auf die Mittelpunktsgleichung

$$b^2 (a^2 + c^2) x'^2 - c^4 z'^2 = \frac{a^2 b c^4}{a^2 + c^2}$$

gebracht werden. Der Schnitt mit der xz-Ebene besteht also aus zwei kongruenten, durch den Nullpunkt gehenden Hyperbeln, deren imaginäre Achsen der z-Achse parallel sind, deren Mittelpunkte im Abstand

$$+ \frac{a c^2}{a^2 + c^2}$$

vom Nullpunkt liegen und deren Halbachsen

$$A_1 = \frac{a c^2}{a^2 + c^2} < \frac{a}{2} \quad B_1 = \frac{a b}{\sqrt{a^2 + c^2}}$$

sind. Die lineare Exzentrizität ist

$$C_1 = \frac{a^3}{a^2 + c^2}$$

und der Abstand der Brennpunkte vom Nullpunkt ist:

$$A_1 + C_1 = a \quad A_1 - C_1 = - \frac{a b^2}{a^2 + c^2}.$$

Die eine Hyperbel hat also den rechts liegenden, die andere den links liegenden Scheitel der grossen Achse der Leitellipse zum einen Brennpunkt. Die Richtungskoeffizienten der Asymptoten sind

$$\pm \frac{B_1}{A_1} = \pm \frac{b}{c^2} \sqrt{a^2 + c^2}.$$

Die Hyperbeln degenerieren nur für den Fall, dass die Leitellipse ein Kreis ist ($c = 0$) in die doppelt gelegte z-Achse und für den Fall, dass sich die Ellipse auf ihre grosse Achse reduziert ($b = 0$), in die doppelt gelegte x-Achse.

Jede dieser beiden Hyperbeln ist der Ort der Endpunkte der zweiten Hauptkrümmungsradien längs eines der beiden in der xz-Ebene liegenden Meridiankreise, und zwar gehört zum rechts liegenden Kreis die rechts liegende Hyperbel. Die Flächennormalen längs eines solchen Kreises sind jedoch nicht Tangenten der zugehörigen Hyperbel, weil die aufeinanderfolgenden zweiten Krümmungshalbmesser längs einer Krümmungslinie der ersten Schar sich nicht im zweiten Krümmungsmittelpunkt schneiden. Für die hier auftretende Hyperbel ist das sehr deutlich ersichtlich. Alle Normalen längs des Kreises schneiden sich nämlich nach § 5 im Scheitel der grossen Achse der Leitellipse. Dieser ist also der konstante Krümmungsmittelpunkt aller ersten Hauptkrümmungsradien längs des Kreises. Er ist aber auch Brennpunkt der Hyperbel, und weil alle Flächennormalen durch ihn gehen, so können sie nicht Tangenten der Hyperbel sein. Die Parallelen zu den Asymptoten durch den Brennpunkt der Hyperbel treffen den Kreis in parabolischen Punkten. Solcher Schnittpunkte sind, wenn wir nur einen Kreis der xz-Ebene in Betracht ziehen, vier möglich, aber zwei davon sind ungültig, weil nach § 9 die Abszisse x eines parabolischen Punktes der xz-Ebene die Grösse a nicht überschreiten darf. Allfällige Schnittpunkte der Parallelen zur Asymptote mit dem zweiten Kreis sind deshalb nicht zu zählen, weil die Normalen in ihnen durch den andern Brennpunkt der Hyperbel gehen. — Dadurch kommen wir im Einklang mit den früheren Untersuchungen zum Resultat, dass in jedem Quadranten der xz-Ebene nur ein parabolischer Punkt liegt.

Für den Schnitt der yz-Ebene mit der Zentrafläche lautet die Gleichung:

$$z^2 = \pm \frac{2 a^2 b}{c^2} y + \frac{b^2 - c^2}{c^4} a^2 y^2.$$

Sie stellt zwei kongruente Kegelschnitte dar, und zwar sind es

Ellipsen, wenn $a > b\sqrt{2}$

Hyperbeln „ $a < b\sqrt{2}$

Parabeln „ $a = b\sqrt{2}$.

Die y -Achse ist Hauptachse der Kegelschnitte.

Im ersten Falle sind alle Krümmungsradien endlich, die Fläche weist längs der Meridiankreise in der yz -Ebene keine parabolischen Punkte auf. Im zweiten Falle gilt dasselbe wie für den Schnitt mit der xz -Ebene, und im dritten Falle liegt für beide Parabeln der unendlich ferne Punkt in der y -Achse. Seine Verbindungsgerade mit dem Kreismittelpunkt trifft die Fläche in den Punkten $x = 0$, $y = \pm 2b$, $z = 0$, welche die einzigen parabolischen Punkte der yz -Ebene sind. Alle drei Fälle decken sich vollständig mit den Resultaten in § 9.

Eine beliebige Ebene durch die z -Achse von der Gleichung $y = mx$ schneidet die Zentralfäche in einer Kurve, deren Projektion auf die xz -Ebene die Gleichung

$$\begin{aligned} c^4 \left[x^2 (1 + m^2) + z^2 \right] - x^2 \left(\sqrt[3]{a^4} + \sqrt[3]{b^4 m^2} \right)^3 \\ = \pm 2 a b c^2 x \sqrt{\left(\sqrt[3]{b^2} + \sqrt[3]{a^2 m^2} \right)^3} \end{aligned}$$

hat. Sie ist von der Form

$$M x^2 + N z^2 \pm P x = 0$$

und stellt also zwei kongruente, durch den Nullpunkt gehende Kegelschnitte dar, deren Hauptachsen mit der Spur der Schnittebene auf der xy -Ebene zusammenfallen. Auch diese Eigenschaft haben wir schon früher (S. 33) kennen gelernt.

Die Kegelschnitte können Ellipsen, Hyperbeln oder Parabeln sein, wenn $a > b\sqrt{2}$. Sie sind, ausgenommen der Schnitt mit der yz -Ebene, nur Hyperbeln, wenn $a = b\sqrt{2}$, und überhaupt nur Hyperbeln, wenn $a < b\sqrt{2}$.

§ 12. Die Schnittkurve der Zentrafläche mit der xy-Ebene.

Die Schnittkurve mit der xy-Ebene ergibt sich aus (XXVII) für $z = 0$:

$$\begin{aligned} & \left[c^4(x^2 + y^2) - \left(\sqrt[3]{a^4 x^2} + \sqrt[3]{b^4 y^2} \right)^3 \right]^2 \\ & = 4 a^2 b^2 c^4 \left(\sqrt[3]{b^2 x^2} + \sqrt[3]{a^2 y^2} \right)^3. \end{aligned} \quad \text{XXVIII.}$$

Will man die Gleichung in rationaler Form haben, so geht man wie folgt vor: Die linke Seite lässt sich, wie sich leicht nachrechnen lässt und wie aus S. 34 gefolgert wird, identisch schreiben:

$$\left[(a^2 + c^2) \sqrt[3]{b^2 x^2} + (b^2 - c^2) \sqrt[3]{a^2 y^2} \right]^2 \left[\sqrt[3]{b^2 x^2} + \sqrt[3]{a^2 y^2} \right]^4,$$

sodass die Gleichung der Kurve in

$$\begin{aligned} & \left[(a^2 + c^2) \sqrt[3]{b^2 x^2} + (b^2 - c^2) \sqrt[3]{a^2 y^2} \right]^2 \left[\sqrt[3]{b^2 x^2} + \sqrt[3]{a^2 y^2} \right] \\ & = 4 a^2 b^2 c^4 \end{aligned} \quad (1)$$

und

$$\sqrt[3]{b^2 x^2} + \sqrt[3]{a^2 y^2} = 0$$

oder

$$b^2 x^2 + a^2 y^2 = 0,$$

zerfällt.

Der der letzten Gleichung entsprechende Kurvenzweig reduziert sich auf den Nullpunkt.

Rechnet man die linke Seite von (1) aus und fasst in passender Weise zusammen, so wird

$$\begin{aligned} & 3 \sqrt[3]{a^2 b^2 x^2 y^2} \left[b^2 (a^2 + c^2) \sqrt[3]{b^2 x^2} + a^2 (b^2 - c^2) \sqrt[3]{a^2 y^2} \right] \\ & = 4 a^2 b^2 c^4 - b^2 (a^2 + c^2) x^2 - a^2 (b^2 - c^2) y^2. \end{aligned}$$

Diese Gleichung erhebt man in die dritte Potenz:

$$\begin{aligned} & 27 a^2 b^2 x^2 y^2 \left\{ b^6 (a^2 + c^2)^3 b^2 x^2 + a^6 (b^2 - c^2)^3 a^2 y^2 \right. \\ & + 3 a^2 b^2 (a^2 + c^2) (b^2 - c^2) \sqrt[3]{a^2 b^2 x^2 y^2} \left[b^2 (a^2 + c^2) \sqrt[3]{b^2 x^2} \right. \\ & \left. \left. + a^2 (b^2 - c^2) \sqrt[3]{a^2 y^2} \right] \right\} = \{ 4 a^2 b^2 c^4 - b^2 (a^2 + c^2) x^2 - a^2 (b^2 - c^2) y^2 \}^3 \end{aligned}$$

und ersetzt den Ausdruck in der eckigen Klammer durch den Wert in der vorangehenden Gleichung. Dann wird die gesuchte rationale Gleichung der Schnittkurve mit der xy-Ebene:

$$\begin{aligned} & 27 a^2 b^2 x^2 y^2 \{ b^4 (a^2 + c^2)^2 [b^4 (a^2 + c^2) - a^2 (b^2 - c^2)] x^2 \\ & + a^4 (b^2 - c^2)^2 [a^4 (b^2 - c^2) - b^2 (a^2 + c^2)] y^2 \end{aligned}$$

$$+ 4 a^4 b^4 c^4 (a^2 + c^2) (b^2 - c^2) \} \\ = \{ 4 a^2 b^2 c^4 - b^2 (a^2 + c^2) x^2 - a^2 (b^2 - c^2) y^2 \}^3. \quad \text{XXVIIIa.}$$

Die Kurve ist also vom 6. Grade. Ihre Schnittpunkte mit den Koordinatenachsen sind, abgesehen vom Nullpunkt:

x-Achse: $x = \pm \frac{2 a c^2}{a^2 + c^2}$, je dreifach

y-Achse: $y = \pm \frac{2 b c^2}{b^2 - c^2}$, » »

Während die Abschnitte auf der x-Achse immer endlich und kleiner als a sind, werden die Abschnitte auf der y-Achse für den Fall $b = c$ ($a = b\sqrt{2}$) unendlich gross.

Zur weitem Untersuchung dieser Schnittpunkte ist es notwendig, den einen oder andern zum Nullpunkt zu machen, also die Transformation

$$x = x' + \frac{2 a c^2}{a^2 + c^2}$$

vorzunehmen. Dadurch verschwindet das konstante Glied auf der rechten Seite und die Kurvengleichung erhält die Form:

$$\left(x + \frac{2 a c^2}{a^2 + c^2} \right)^2 (A x^2 + B x + C y^2 + D) y^2 = (E x^2 + F x + G y^2)^3$$

Der Schnittpunkt ist also in beiden Fällen ein Doppelpunkt und die Tangenten in ihm werden:

$$\left(\frac{2 a c^2}{a^2 + c^2} \right)^2 D y^2 = 0 \quad \text{also:} \\ y = 0 \text{ doppelt.}$$

Die zwei Schnittpunkte mit der x-Achse sind also Spitzen, mit der x-Achse als gemeinschaftlicher Spitzentangente.

Ganz in gleicher Weise lässt sich zeigen, dass die beiden Schnittpunkte der Kurve mit der y-Achse Spitzen sind mit der y-Achse als gemeinschaftlicher Spitzentangente, und zwar gilt dieses Resultat in allen Fällen, wenn $b \geq c$ bzw. $a \leq b\sqrt{2}$ ist.

Um die Richtungen der Asymptoten zu finden, geht man besser von Gl. XXVIII aus, indem man in ihr die Glieder höchsten Grades:

$$c^4 (x^2 + y^2) - (\sqrt{a^4 x^2 + \sqrt{b^4 y^2}})^3 = 0 \quad (2)$$

setzt. Führt man zur Abkürzung

$$\sqrt[3]{\frac{y^2}{x^2}} = \xi \quad (3)$$

ein, wo $\frac{y}{x} = \mu$ den Richtungskoeffizienten der Asymptoten bedeutet, so verwandelt sich (2) in

$$\xi^3 + \frac{3b^2}{a(b^2 - c^2)} \sqrt[3]{ab^2} \xi^2 + \frac{3b}{b^2 - c^2} \sqrt[3]{a^2b} \xi + \frac{b^2(a^2 + c^2)}{a^2(b^2 - c^2)} = 0.$$

Diese kubische Gleichung bringen wir vermittelst der Substitution

$$\xi = \eta - \frac{b^2}{a(b^2 - c^2)} \sqrt[3]{ab^2}$$

auf die reduzierte Form:

$$\eta^3 - \frac{3bc^4}{a^2(b^2 - c^2)^2} \sqrt[3]{a^2b} \eta + \frac{2b^2c^6}{a^2(b^2 - c^2)^3} = 0.$$

Die Diskriminante dieser kubischen Gleichung wird null und die Wurzeln sind

$$\eta_1 = - \frac{2c^2}{a(b^2 - c^2)} \sqrt[3]{ab^2}$$

$$\eta_2 = \eta_3 = \frac{c^2}{a(b^2 - c^2)} \sqrt[3]{ab^2},$$

sodass

$$\xi_1 = \frac{2a^2 - b^2}{a^2 - 2b^2} \sqrt[3]{\frac{b^2}{a^2}}$$

$$\xi_2 = \xi_3 = - \sqrt[3]{\frac{b^2}{a^2}}.$$

Hieraus ergeben sich die Richtungskoeffizienten der Asymptoten:

$$\mu_1 = \pm \frac{b}{a} \sqrt{\left(\frac{2a^2 - b^2}{a^2 - 2b^2}\right)^3} \quad (4)$$

$$\mu_2 = \mu_3 = \pm \frac{b}{a} \cdot i.$$

Von den 6 Asymptotenrichtungen sind also 4 imaginär (die paarweise zusammenfallen) und zwei reell. Aber auch diese sind nur so lange reell, als $a \geq b\sqrt{2}$. Für $a = b\sqrt{2}$ wird $\mu_1 = \infty$, die Asymptote ist der y-Achse parallel. Dieser Fall entspricht in der yz-Ebene der Parabel. Ist $a > b\sqrt{2}$, so sind zwei Asymptotenrichtungen reell.

Die Gleichungen der Asymptoten selbst können nicht nach der allgemeinen Theorie bestimmt werden, weil zwei Richtungen zusammenfallen. Wir gelangen aber zu ihnen, wenn wir die Asymptoten der Kurve als Normalen in den Wendepunkten der Äquatorkurve der F_4 auffassen.

Durch Differentiation der Kurvengleichung

$$(x^2 + y^2)^2 = 4(a^2 x^2 + b^2 y^2)$$

findet man für den Richtungskoeffizienten der Normalen:

$$m = \frac{y}{x} \cdot \frac{x^2 + y^2 - 2b^2}{x^2 + y^2 - 2a^2}$$

Setzt man hierin die Koordinaten der Wendepunkte nach den Formeln (V) ein, so findet man

$$m = \pm \frac{b}{a} \sqrt{\left(\frac{2a^2 - b^2}{a^2 - 2b^2}\right)^3}$$

wie in (4). Diese Methode führt bedeutend rascher zum Ziele, aber wir erhalten nur die reellen Asymptoten, so lange uns die Koordinaten der imaginären Wendepunkte unbekannt sind.

Die Gleichungen der Normalen in den Wendepunkten oder der Asymptoten werden jetzt

$$y - y_1 = m(x - x_1).$$

Setzt man für x_1, y_1 die Koordinaten der Wendepunkte ein, so erhält man 4 reelle Asymptoten, die paarweise parallel sind. Ihre Gleichungen sind:

$$a(a^2 - 2b^2) \sqrt{a^2 - 2b^2} \cdot y + b(2a^2 - b^2) \sqrt{2a^2 - b^2} \cdot x$$

$$= \pm abc \sqrt{3(2a^2 - b^2)(a^2 - 2b^2)}$$

$$a(a^2 - 2b^2) \sqrt{a^2 - 2b^2} \cdot y - b(2a^2 - b^2) \sqrt{2a^2 - b^2} \cdot x$$

$$= \pm abc \sqrt{3(2a^2 - b^2)(a^2 - 2b^2)}.$$

XXIX.

Ist speziell $a = b\sqrt{2}$, so wird $x = 0$, d. h. die Asymptoten fallen mit der y -Achse zusammen.

Die Abschnitte der Asymptoten auf den Koordinatenachsen sind

$$(x\text{-Achse}) \quad \alpha_1 = \frac{ac}{2a^2 - b^2} \sqrt{3(a^2 - 2b^2)} \quad \text{wo } a > b\sqrt{2}$$

$$(y\text{-Achse}) \quad \beta_1 = \frac{bc}{a^2 - 2b^2} \sqrt{3(2a^2 - b^2)},$$

während die Koordinaten der Spitzen dem absoluten Werte nach (S. 39)

$$\text{(x-Achse)} \quad \alpha_2 = \frac{2ac^2}{2a^2 - b^2}$$

$$\text{(y-Achse)} \quad \beta_2 = \frac{2bc^2}{a^2 - 2b^2}$$

sind. Es ist leicht einzusehen, dass stets

$$\alpha_1 < \alpha_2 \quad \beta_1 > \beta_2.$$

Die Kurve, die zugleich Evolute der Fusspunktkurve der Leitellipse ist, hat in den drei Fällen $a < b\sqrt{2}$, $a = b\sqrt{2}$, $a > b\sqrt{2}$ die in den Figuren 9, 10, 11 gezeichnete Gestalt.

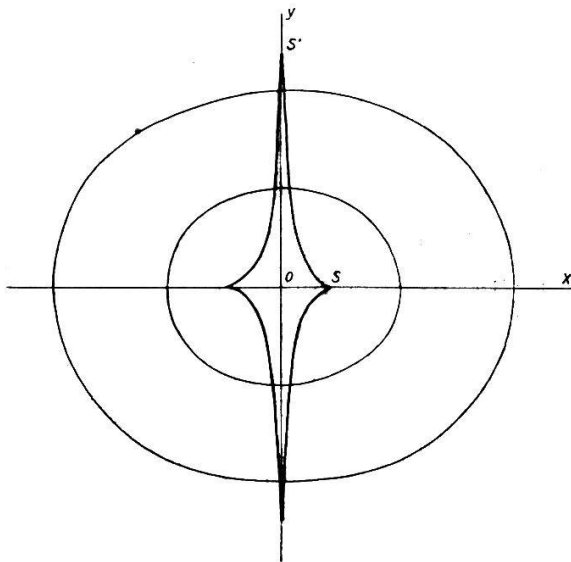


Fig. 9.

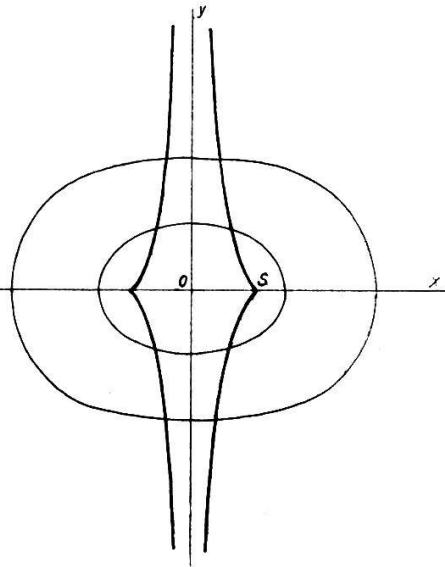


Fig. 10.

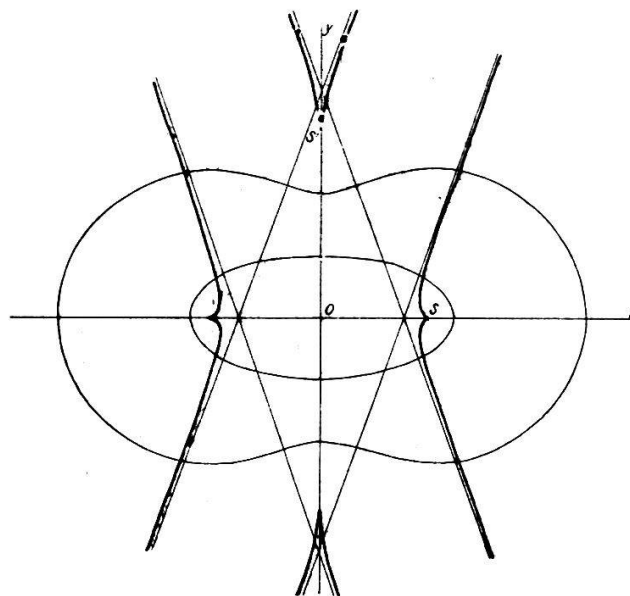


Fig. 11.

§ 13. Diskussion der Zentrafläche.

Gestützt auf die gemachten Untersuchungen ist es möglich, eine Vorstellung von der Zentrafläche zu erhalten. Den ersten Mantel, der in die Leitellipse ausartet, schliessen wir von einer weitem Betrachtung aus und beschränken uns auf den zweiten Mantel. Da dieser seine Gestalt ändert, je nachdem $a \lesseqgtr b\sqrt{2}$ ist, so müssen wir die drei Fälle getrennt behandeln. In allen Fällen sind die Schnitte durch die z -Achse Kegelschnitte.

1. Fall: $a < b\sqrt{2}$. (Fig. 13). Wir fassen zunächst die Schnitte mit den Koordinatenebenen ins Auge. A, B (Fig. 12) seien die parabolischen Punkte in der xz -Ebene; C, D diejenigen in der yz -Ebene. Denken wir uns einen Punkt auf dem einen, rechts von der z -Achse liegenden Meridian-Kreis der F_4 in der xz -Ebene wandernd von S_1 bis A, so beschreibt der Endpunkt des zugehörigen zweiten Hauptkrümmungs-

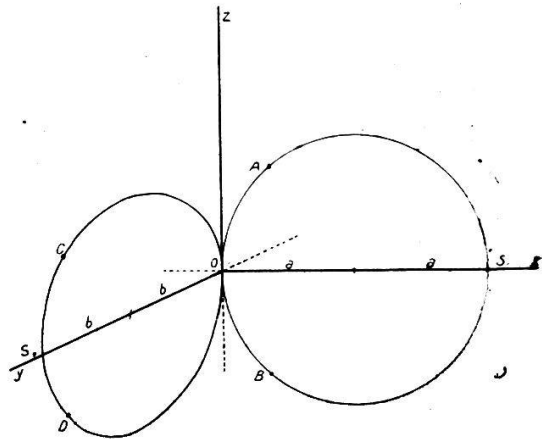


Fig. 12.

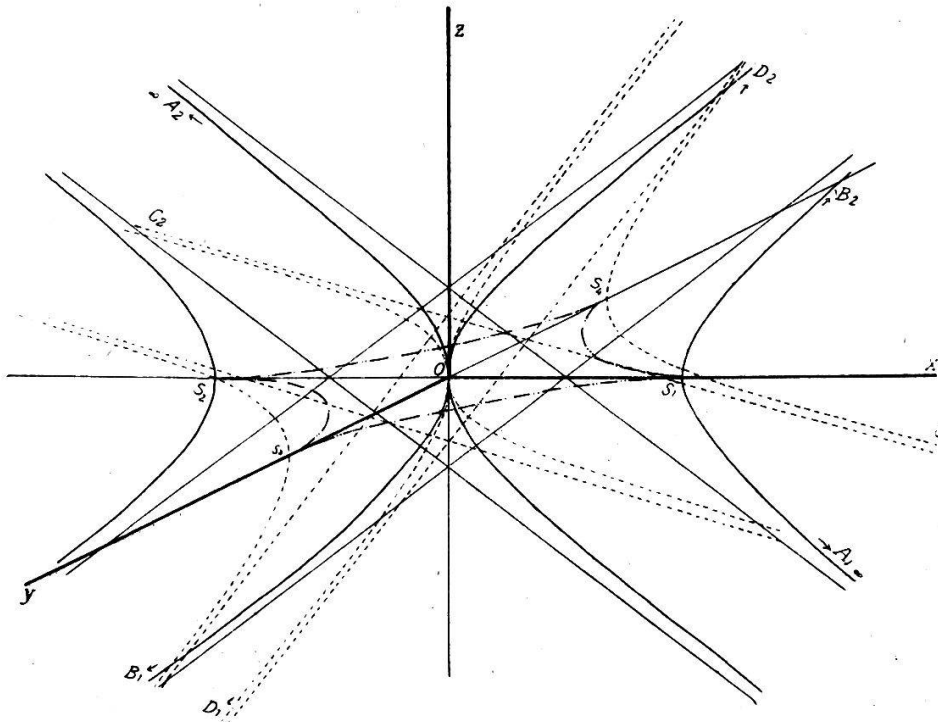


Fig. 13.

radius den unendlichen Hyperbelbogen $S_1 A_1$ (Fig. 13). Wandert der Punkt weiter von A nach O , so schreitet der Krümmungsmittelpunkt auf der Hyperbel von A_2 (im Unendlichen) nach O . Dem Weg von O_1 bis B entspricht der unendliche Bogen OB_1 und dem letzten Stück BS_1 der unendliche Ast $B_2 S_1$. Ganz entsprechendes gilt für den zweiten, zu diesem kongruenten Meridiankreis der xz -Ebene. Ihm ist die zweite Hyperbel der xz -Ebene zugeordnet. Durchwandert ein Punkt beide Kreise, was ohne Sprung möglich ist, so muss auch der zugehörige Krümmungsmittelpunkt die beiden Hyperbeln ohne Sprung durchlaufen können.

Dasselbe lässt sich sagen für die yz -Ebene und überhaupt für jede durch die z -Achse gelegte Ebene. Die Zentrafläche lässt

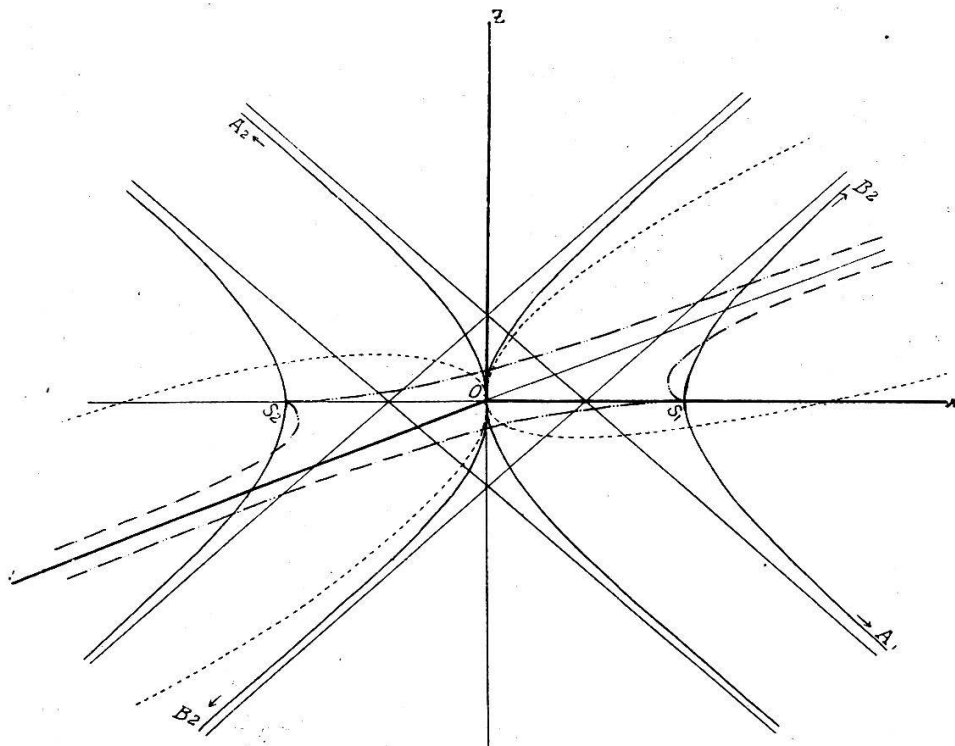


Fig. 14.

sich ihrer Gestalt nach am besten vergleichen mit der Fläche, die von einer durch den Nullpunkt gehenden Hyperbel, deren Scheiteltangente die z -Achse ist, bei der Drehung um die z -Achse beschrieben wird. Nimmt man an dieser Fläche die durch die aufgestellten Eigenschaften erforderlichen Veränderungen vor, so gelangt man zu einem ziemlich klaren Bild der Fläche. Diese

scheint demnach aus zwei Mänteln zu bestehen; aber die eben gemachten kinematischen Betrachtungen zeigen, dass diese im Unendlichen in gleicher Weise zusammenhängen, wie die vier Äste zweier kongruenter Schnitthyperbeln.

2. Fall: $a = b\sqrt{2}$. (Fig. 14.) Die Fläche hat im wesentlichen dieselbe Gestalt wie im 1. Fall, nur ist hier der Schnitt mit der yz -Ebene eine Parabel. Die Hälfte dieser Koordinatenebene, die die positive y -Achse enthält, weist daher auch nur einen einzigen parabolischen Punkt auf (in S_4).

3. Fall: $a > b\sqrt{2}$. (Fig. 15.) Um eine Anschauung von der Fläche zu bekommen, denken wir sie uns durch die yz -Ebene

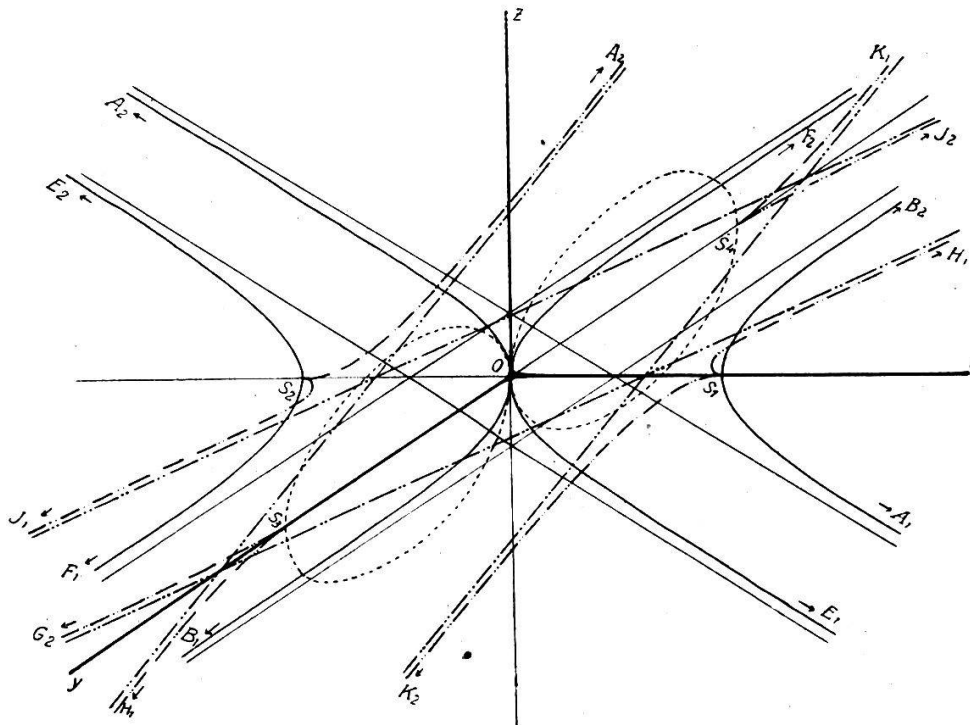


Fig. 15.

entzweigeschnitten. Dann entstehen auf der positiven Seite dieser Ebene zwei Mäntel. Der Mantel I enthält die Kurven $G_1 S_1 K_1$ und $A_1 S_1 B_1$, der Mantel II die Kurven $H_1 S_3$ und $J_2 S_4$, sowie die beiden Ellipsen $S_3 O$ und $S_4 O$ und die Hyperbel $E_1 O F_2$. Beide Mäntel schneiden sich im Endlichen nicht. Auf der negativen Seite der yz -Ebene sei der zu I symmetrische Mantel mit III, der zu II symmetrische mit IV bezeichnet. Längs der yz -Ebene hängen II und IV zusammen und im Unendlichen

einerseits I und IV und andererseits II und III. Die Fläche ist also einfach zusammenhängend; denn geht man z. B. von I aus, so kann man ohne Sprung nach IV, von da nach II und von II nach III gelangen.

Zum Schlusse suchen wir noch die den Parameterkurven entsprechenden Kurven der Krümmungsmittelpunkte, Γ_1 und Γ_2 .

Für die Krümmungslinien $u = \text{const}$ (Meridiankreise) wird Γ_1 auf einen Punkt der Leitellipse reduziert. Γ_2 ist ein Kegelschnitt, dessen Ebene durch die z-Achse geht (S. 33).

Für die Krümmungslinien $v = \text{const} = k$ ist Γ_1 die Leitellipse. Γ_2 ist der Schnitt der aus Gl. (2) § 10 sich für $v = k$ ergebenden Fläche

$$\sqrt[3]{b^2 x^2} + \sqrt[3]{a^2 y^2} = \sqrt[3]{\frac{c^4 z^2 k^2}{a^2 b^2}},$$

die sich rational schreiben lässt:

$$\left(b^2 x^2 + a^2 y^2 - \frac{c^4 k^2 z^2}{a^2 b^2}\right)^3 = 27 c^4 k^2 x^2 y^2 z^2$$

mit der F_4 , also der Schnitt eines Kegels 6. Ordnung, dessen Spitze in O liegt, mit der zyklischen Fläche.

III. Kapitel:

Konforme Abbildung.

§ 14. Einführung isothermer Parameter.

In XVII ergab sich für das Linienelement der Fläche:

$$ds^2 = \frac{4}{(r^2 + v^2)^2} \left(\frac{v^4 t^2}{r^2} du^2 + r^4 dv^2 \right).$$

Dasselbe lässt sich auch schreiben

$$ds^2 = \frac{4}{(r^2 + v^2)^2} \cdot r^4 v^4 \left(\frac{t^2}{r^6} du^2 + \frac{1}{v^4} dv^2 \right). \quad (1)$$

Indem nun in der Klammer der Koeffizient von du^2 eine reine Funktion von u ist und ebenso der Koeffizient von dv^2 eine reine Funktion von v , so ist es möglich, durch die Substitution

$$du_1 = \frac{t}{r^3} du$$

$$dv_1 = \frac{1}{v^2} dv$$

eine Einteilung der Fläche in unendlich kleine Quadrate herzustellen. Setzt man die Werte für u und v , die sich aus

$$\begin{aligned} u_1 &= \int \frac{t}{r^3} du \\ v_1 &= \int \frac{1}{v^2} dv = -\frac{1}{v} \end{aligned} \quad (2)$$

ergeben, im Ausdruck (1) für das Linienelement ein, so wird der Faktor vor der Klammer eine Funktion von u_1 und v_1 , also

$$ds^2 = \Phi(u_1, v_1)(du_1^2 + dv_1^2). \quad (3)$$

Es handelt sich nun darum, das noch nicht berechnete Integral für u_1 in (2) auszumitteln. Dieses wird, wenn man für t und r die Werte aus (XVII) einsetzt:

$$\begin{aligned} u_1 &= \int \sqrt{\frac{a^4 \cos^2 u + b^4 \sin^2 u}{(a^2 \cos^2 u + b^2 \sin^2 u)^3}} du \\ &= \int \sqrt{\frac{a^4 + b^4 \operatorname{tg}^2 u}{(a^2 + b^2 \operatorname{tg}^2 u)^3}} \frac{du}{\cos^2 u}. \end{aligned}$$

Vermittelst der Substitution

$$\operatorname{tg} u = \frac{a^2}{b^2} \cdot \frac{1}{\operatorname{tg} \varphi}$$

lässt sich dasselbe auf die Form bringen:

$$u_1 = -a b \int \frac{d\varphi}{\sqrt{(a^2 \cos^2 \varphi + b^2 \sin^2 \varphi)^3}}$$

oder wenn

$$\frac{a^2 - b^2}{a^2} = \frac{e^2}{a^2} = e^2$$

gesetzt wird, wo $e < 1$:

$$u_1 = -\frac{b}{a^2} \int \frac{d\varphi}{\sqrt{(1 - e^2 \sin^2 \varphi)^3}}$$

oder in der üblichen Schreibweise:

$$u_1 = -\frac{b}{a^2} \int \frac{d\varphi}{\Delta^3 \varphi}$$

Nach bekannten Formeln findet man hieraus durch Einführung des elliptischen Normalintegrals II. Art $E(e, \varphi)$:

$$u_1 = -\frac{1}{b} E(e, \varphi) + \frac{e^2}{b} \frac{\sin \varphi \cos \varphi}{\Delta \varphi}.$$

Die neuen (thermischen) Parameter u_1, v_1 drücken sich also folgendermassen durch die alten aus:

$$u_1 = -\frac{1}{b} E(e, \varphi) + \frac{e^2}{b} \frac{\sin \varphi \cos \varphi}{\Delta \varphi}$$

$$v_1 = -\frac{1}{v}$$

XXX.

wo

$$\varphi = \text{arc tg} \left(\frac{a^2}{b^2} \cdot \frac{1}{\text{tg } u} \right).$$

§ 15. Konforme Abbildung der Fläche auf einen ebenen Streifen und auf die Fläche eines Kreises.

Eine konforme Abbildung einer Fläche auf eine Ebene wird dadurch erzielt, dass man die thermischen Parameter der Fläche als rechtwinklige Punktkoordinaten in der Ebene deutet.¹⁾ Sind x, y die rechtwinkligen Koordinaten des Punktes in der Ebene, der das Bild des Punktes (u_1, v_1) der Fläche ist, so ist also zu setzen:

$$x = u_1 = -\frac{1}{b} E(e, \varphi) + \frac{e^2}{b} \frac{\sin \varphi \cos \varphi}{\Delta \varphi}$$

$$y = v_1 = -\frac{1}{v},$$

XXXI.

wo wiederum φ sich aus

$$\text{tg } \varphi = \frac{a^2}{b^2} \cdot \frac{1}{\text{tg } u}$$

bestimmt. Durch diese Formeln wird die konforme Abbildung vermittelt. Für verschiedene Werte von u ergeben sich die folgenden Werte, in denen E das vollständige elliptische Normalintegral II. Art:

$$E = E \left(e, \frac{\pi}{2} \right)$$

bedeutet:

¹⁾ G. Scheffers: Anwendung der Diff. und Int. Rechnung auf Geometrie. II. Bd. p. 71.

u	tg φ	φ	x
0°	∞	$\frac{\pi}{2}$	$-\frac{1}{b}E$
90°	0	π	0
180°	$-\infty$	$\frac{3\pi}{2}$	$\frac{1}{b}E$
270°	0	2π	$\frac{2}{b}E$
360°	∞	$\frac{5\pi}{2}$	$\frac{3}{b}E$

Für alle folgenden Werte von u nimmt x periodisch zu, und zwar für je 90° um $\frac{1}{b}E$.

Für $v = 0$ wird $y = \pm \infty$
 „ $v \pm \infty$ wird $y = 0$.

Die Fläche ist also konform abgebildet auf einen zur y-Achse parallelen Streifen von der Breite $\frac{4}{b}E$ (Fig. 16). Der Mittelpunkt der Fläche ($v = 0$) wird in den unendlich fernen Punkt der y-Achse abgebildet, der Aequator ($v = \infty$) in die x-Achse.

Der ersten Schar von Krümmungslinien (Meridiankreise) entsprechen Parallele zur y-Achse, der zweiten Schar Parallele zur x-Achse.

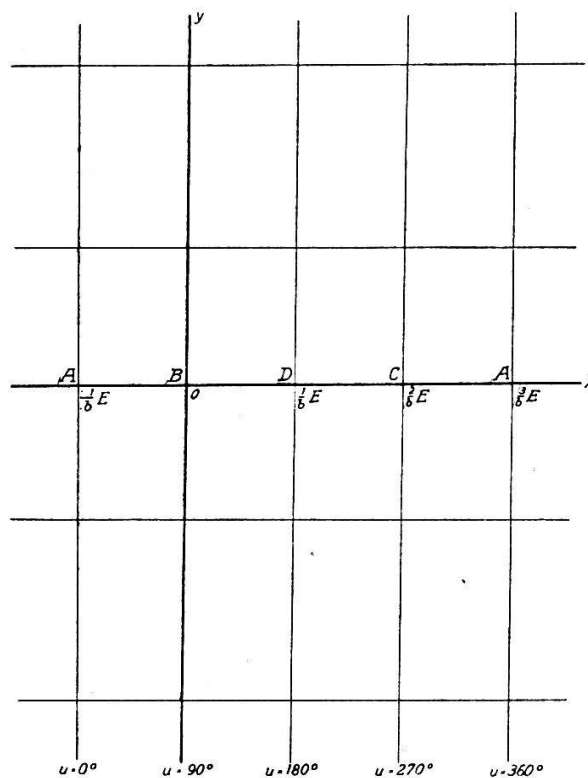


Fig. 16.

Es bietet nun keine Schwierigkeiten, diesen Streifen — und damit also auch die Fläche — konform auf das Innere des Ein-

heitskreises abzubilden. Legen wir der Ebene des Kreises das Koordinatensystem ξ, η zu Grunde, so vermittelt die Funktion¹⁾

$$\frac{\xi + i\eta - 1}{\xi + i\eta + 1} = e^{\frac{b\pi}{4E} i(x+iy)} \quad \text{XXXII.}$$

wo E wieder das vollständige elliptische Normalintegral II. Art bedeutet, die gewünschte Abbildung. Hieraus wird

$$\frac{\xi^2 + \eta^2 - 1}{(\xi + 1)^2 + \eta^2} = e^{-\frac{b\pi}{4E} y} \cos \frac{b\pi}{4E} x \quad (1)$$

$$\frac{2\eta}{(\xi + 1)^2 + \eta^2} = e^{-\frac{b\pi}{4E} y} \sin \frac{b\pi}{4E} x. \quad (2)$$

Durch Elimination von x aus (1) und (2) resultiert die Gleichung

$$\xi^2 - 2\xi \frac{1 + e^{-\frac{b\pi}{2E} y}}{1 - e^{-\frac{b\pi}{2E} y}} + \eta^2 - 1 = 0,$$

die einen Kreis darstellt, dessen Mittelpunkt im Abstand

$$p = \frac{1 + e^{-\frac{b\pi}{2E} y}}{1 - e^{-\frac{b\pi}{2E} y}} \quad (3)$$

vom Ursprung auf der ξ -Achse liegt und dessen Radius

$$r_1 = \frac{2e^{-\frac{b\pi}{4E} y}}{1 - e^{-\frac{b\pi}{2E} y}}$$

ist. Für $v = \text{const.}$ wird $y = \text{const.}$ und damit p und r_1 const.; d. h. der zweiten Schar von Krümmungslinien auf der Fläche entsprechen Kreise, deren Mittelpunkte auf der ξ -Achse liegen.

Durch Elimination von y aus (1) und (2) folgt die Gleichung

$$\xi^2 + \eta^2 - 2\eta \cotg \frac{b\pi}{4E} x - 1 = 0,$$

die wiederum einen Kreis darstellt, diesmal vom Radius

¹⁾ A. R. Forsyth: Theory of Functions of a complex Variable, p. 508.

W. F. Osgood: Lehrbuch der Funktionentheorie I, p. 402.

$$r_2 = \frac{1}{\sin \frac{b\pi}{4E} x}$$

Sein Zentrum liegt im Abstand

$$q = \cotg \frac{b\pi}{4E} x$$

auf der η -Achse.

Hieraus findet man

$$r_2^2 - q^2 = 1.$$

Die Strecken r_2 , q und 1 bilden also ein rechtwinkliges Dreieck, r_2 und q sind variabel, aber die Kathete 1 bleibt fest. Alle Kreise, welche der obigen Gleichung entsprechen, gehen also durch den festen Punkt, der im Abstand 1 auf der ξ -Achse liegt — und ebenso durch den symmetrischen Punkt der negativen ξ -Achse.

Für $u = \text{const.}$ wird $x = \text{const.}$ und somit q und r_2 const., d. h. der ersten Schar von Krümmungslinien (den Meridiankreisen) entspricht im Bilde ein Kreisbüschel durch zwei feste Punkte, dessen Achse mit der η -Achse zusammenfällt.

Das gegenseitige Entsprechen von Kurven ergibt sich aus folgenden zwei Tabellen:

u	x	q	r_2
0°	$-\frac{1}{b}E$	-1	$\sqrt{2}$
90°	0	0	1
180°	$\frac{1}{b}E$	+1	$\sqrt{2}$
270°	$\frac{2}{b}E$	∞	∞
360°	$\frac{3}{b}E$	-1	$\sqrt{2}$

v	y	p	r ₁
0	$\pm \infty$	± 1	0
∞	0	$\pm \infty$	∞

Die Figur 17 (sie ist der Anschaulichkeit wegen um 90° gedreht) stellt die konform abgebildete Fläche dar.

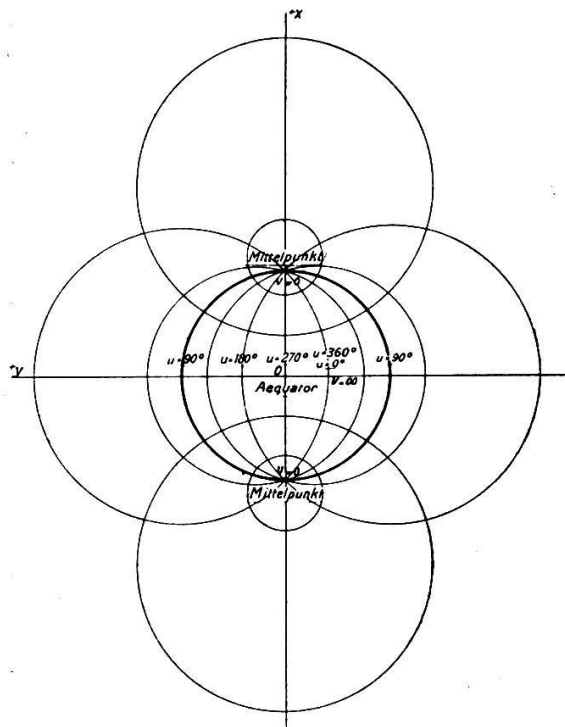


Fig. 17.

Literatur.

Encyklopädie der mathematischen Wissenschaften III D 5 (R. v. Lilienthal), 1903.

G. Monge: Application de l'Analyse à la Géométrie 5^e éd., revue par M. Liouville. 1850.

Ribaucour: Sur les courbes enveloppes de cercles et sur les surfaces enveloppes de sphères. Bull. soc. phil. Paris. 5 (1868).

A. Enneper: Die zyklischen Flächen. Z. f. Math. u. Ph. 14 (1869).

— Bemerkungen über die Enveloppe einer Kugelfläche. Nachrichten Göttingen 1873.

L. Lecornu: Sur les surfaces enveloppes de sphères. J. de l'école polyt. 53 (1883).